

中华人民共和国地质部地球物理探矿研究所

地球物理与地球化学探矿 研究报告文集

第 4 集

中 国 工 业 出 版 社

209

中华人民共和国地质部地球物理探矿研究所

地球物理与地球化学探矿 研究报告文集

第 4 集

二度体磁异常理论曲线

黄树棠 顾学新 编著

中国工业出版社

本书繪制了八种在普查金属矿和含油构造工作中常遇到的地质体在不同磁化条件和不同产状单元情况下的磁异常理論曲綫图，其中包括垂直分量 (ΔZ)、水平分量 (ΔH) 和总磁力异常 (ΔT) 的理論曲綫，并且附有数据。全书共有理論曲綫图 169 张，曲綫 2406 条。

本书可供地球物理探矿队中从事地面磁測和航空磁測資料解释工作的人员使用，也可供高等院校地球物理勘探专业师生以及从事重力勘探資料解释的工作者参考。

中华人民共和国地质部地球物理探矿研究所
地球物理与地球化学探矿研究报告文集

第 4 集

二度体磁异常理論曲綫

黄树棠 顧学新 編著

*

地质部地质书刊編輯部編輯 (北京西四羊市大街地质部院内)

中国工业出版社出版 (北京佟麟閣路丙10号)

北京市书刊出版业营业許可証出字第110号

中国工业出版社第四印刷厂印刷

新华书店北京发行所发行·各地新华书店經售

*

开本787 × 1092¹/₁₆ 印张28⁵/₈ · 字数265,000

1965年4月北京第一版·1965年4月北京第一次印刷

印数0001—3040·定价 (科六) 3.50元

*

統一书号: 15165 · 3700 (地质-305)

序

这里我們选择了八种在普查金属矿和含油构造工作中常遇到的地质体，对它們绘制了在不同磁化条件和不同产状单元情况下的磁异常垂直分量 (ΔZ)、水平分量 (ΔH)和总磁力异常 (ΔT) 的理論曲綫图，且附上了数据。本图册的初稿在1958—1960年間曾陆續由我所印发給有关单位試用过。近几年来，从生产崗位上的同志們的来信中，我們高兴地得知从事磁法勘探資料解释工作的同志們迫切需用它。为了滿足大家的需要，我們在1963年底又重新開始整理，作了复算、修正和补充，今由中国工业出版社出版。

本图册的复算工作是在中国科学院計算技术研究所协助下用电子計算机計算的，由該所李家楷、黃江鶴同志負責进行計算，在此謹对他們的辛勤劳动和热忱帮助深切致謝。我所张覃强、刘希安、朴英柒、白奎武、赵和南、錢瘦石、吳中美等十多位同志参加过計算、绘图和数据整理工作。侯重初同志在整理过程中提供了許多宝贵的建議，并且最后审閱了本图册的原稿。总之，本图册此次能在較短時間內与讀者見面，是在各有关組織的領導支持下大家共同劳动的結果。

由于我們的知識和野外工作的經驗缺乏，本图册在选择內容的实用性和完整性等方面必然会有許多錯誤和缺点，希望讀者在使用过程中对我們多加帮助指教，以便将来有机会时改正。

編 著 者

一九六四年六月于地质部地球物理探矿研究所

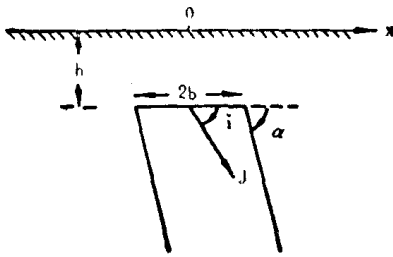
二度体磁异常理論曲綫

說 明

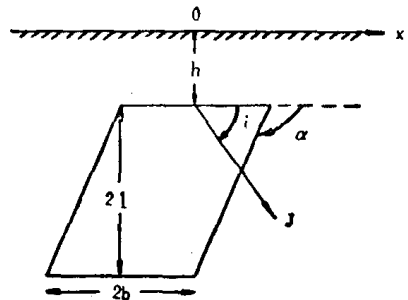
一、內 容 簡 介

在磁法勘探資料解釋問題中，沿走向和向下都有限的地质体，一般称为三度体。例如，橢球体、球体和平行六面体等即属此类。沿走向无限延伸的地质体引起的磁异常可作为平面問題来研究，所以把这类地质体統称为二度体。对于二度体又根据垂直于走向的截面形状不同而分別命名。在普查金属矿和含油构造的工作中会遇到各种各样的地质体，它們与截面为各种規則几何形状的二度体較近似，我們仅在其中选择了八种較常見的地质体，根据計算結果绘出了它們的磁异常理論曲綫。这八种地质体是：

(1) 沿走向无限延伸、垂直于走向的截面为圓形的水平柱状地质体，简称水平圓柱体。見理論曲綫图 1，2。



附图一



附图二

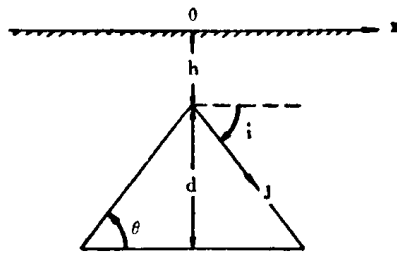
(2) 沿走向及向下无限延深的板状地质体，简称无限延深板状体。剖面示如附图一；磁异常曲綫見图3—57。

(3) 沿走向无限延伸、垂直于走向的截面为平行四边形的水平柱体，简称水平平行四边形柱体。通常当垂直厚度比上、下界面的寬度大时，叫做有限延深板状体；当垂直厚度比上、下界面的寬度小时，叫做水平层。剖面示意图見附图二；磁异常曲綫見图58—111。

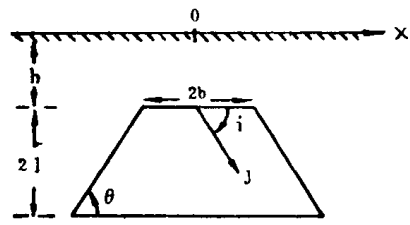
(4) 沿走向无限延伸、垂直于走向的截面为三角形的水平稜柱，简称水平三角柱体。它的剖面示如附图三；磁异常曲綫見图 112—126。

(5) 沿走向无限延伸、垂直于走向的截面为梯形的水平稜柱，简称水平梯形柱体。它的剖面示如附图四；磁异常曲綫图見 127—151。

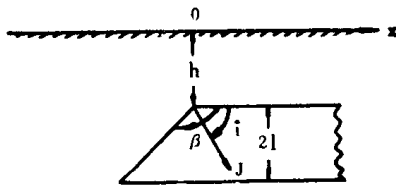
(6) 在半平面內无限伸展的水平层，简称半无限水平层，通常称为岩层接触带。其剖面示如附图五；磁异常曲綫見图 152—164。



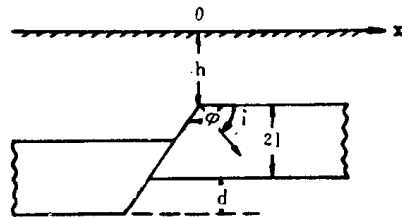
附图三



附图四



附图五

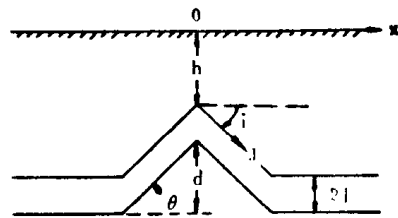


附图六

(7) 沿直綫錯断且有上、下位移的无限伸展的水平层，简称断层。剖面示如附图六；磁异常曲綫见图 165, 166, 167。

(8) 沿走向无限延伸，且具有三角棱柱状凸起的水平层，简称层状三角凸起。通常視作岩层褶皱。剖面示如附图七；磁异常曲綫见图 168, 169。

把上述几种規則形状的地质体以几何形状命名，目的是希望在实际工作中灵活应用。例如：水平三角柱体和水平梯形柱体在实际問題中可視為結晶基岩隆起；有时也可近似地作为背斜构造。又如：图 168, 169 的曲綫，是用水平三角柱体的曲綫相减求得；也可用水平三角柱体、水平平行四边形柱体和半无限水平层的



附图七

磁异常值迭加起来計算而得。由此可見，根据实际問題的需要，可利用本图册中的数据 and 图形計算出近似于实际地质体形状的磁异常理論曲綫。

另外，大家知道，我国处于緯度較低的地区，受斜磁化影响比緯度高的地区大，致使磁异常解释工作比較复杂，对于总磁力异常 ΔT 的解释工作更是麻煩。因此本图册中绘出了上述几种地质体受不同方向磁化后所引起的磁异常垂直分量 (ΔZ)、水平分量 (ΔH) 和总磁力异常 (ΔT) 的变化特征，以便作磁测資料定性解释时参考；在条件有利时，也可作为定量解释的工具。

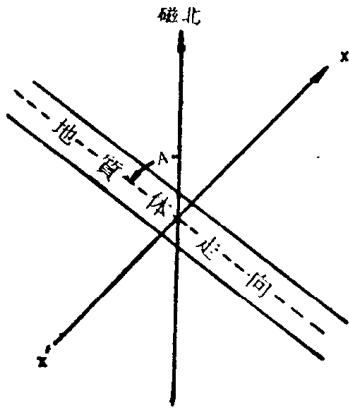
全书共有磁异常 (ΔZ , ΔH , ΔT) 理論曲綫图 169 张。除图 165—169 沒有附数据 (可从半无限水平层和水平三角柱体等的曲綫和数据計算得到) 外，其余各图都附有数据。另外，对半无限水平层加附了 30 张数据表。共有曲綫 2406 条。

二、符号和單位

(1) ΔZ 和 ΔH 分别是具有磁性的地质体受地磁場感应磁化后所产生的磁异

常强度的垂直分量和水平分量。在图中用 Z 和 H 标出。

ΔT 是磁场总矢量的模数与正常磁场矢量的模数之差。在图中记为 T 。



附图八

本图册中没有考虑退磁作用和剩余磁化影响，若需考虑时可参阅[2]，[3]，[4]等文献。

(2) K 是引起磁异常的地质体与围岩的相对磁化率，通常以 CGSM 为单位。

(3) Z_0 是测区的正常地磁场强度垂直分量，通常以 r 为单位。

(4) A 为地质体走向的磁方位角，如附图八。它的大小自磁北方向起依反时针方向计算。

(5) α 是无限延深板状体或水平平行四边形柱体侧面的倾角。它的大小是自水平面起依顺时针方向计算的，当向东和向北倾斜时 $\alpha < 90^\circ$ ，向西和向南倾斜时 $\alpha > 90^\circ$ ，见附图一、二。半无限水平层、层状三角凸起、水平三角柱体和水平梯形柱体等的翼面的倾角(或底角)分别记为 β 、 φ 和 θ ，见附图三至附图七。

(6) $x'ox$ 线为垂直于地质体走向的剖面线，有箭头表示的 ox 端取在东、北东或北或北西方向。在理论曲线图中又把 $x'ox$ 线取作横坐标。 x 值代表测点至坐标原点的距离。原点(即图中零点)的位置如附图一至附图七中所示。

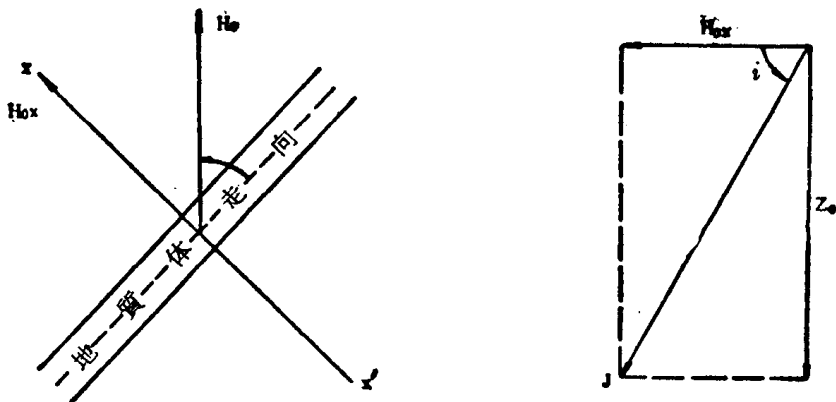
(7) J_0 是总磁化强度。 J 是总磁化强度 J_0 在剖面内的分量。 J_z 是 J 在铅垂方向的分量。

(8) i 是剖面内的有效磁倾角，即 J 的方向与水平线间的夹角，如附图九中所示，有如下关系：

(8) i 是剖面内的有效磁倾角，即 J 的方向与水平线间的夹角，如附图九中所示，有如下关系：

$$\text{ctg } i = \text{ctg } I_0 \sin A$$

其中 I_0 是测区的正常地磁倾角。



附图九

(9) $2b$ 是无限延深板状体、水平平行四边形柱体和水平梯形柱体上界面的水平宽度，见附图一、二、四。

VII

(10) $2l$ 是水平平行四边形柱体、水平梯形柱体、半无限水平层、断层和层状三角凸起等的垂直厚度，如附图四、五、六所示。

(11) h 是地质体上界面或顶点的埋藏深度，如附图一至附图七所示。对水平圆柱体来说， h 是截面中心的埋藏深度。

(12) d 是断层的垂直断距，见附图六。对水平三角柱体和层状三角凸起而言， d 是它们的顶点至底面的高，如附图三、七所示。

(13) $2b$ 、 $2l$ 、 d 、 x 等长度，除数据表中注明的以外，均以埋藏深度 h 为单位，即取 $h = 1$ 计算。

(14) 为使同一组理论曲线可应用于各个地区——地磁场变化——和磁性不同的地质体——相对磁化率变化——的情况， ΔZ 和 ΔH 曲线图的纵坐标都以 $2J_e$ 为单位绘制。 ΔT 曲线图的纵坐标都以 $2J_e \sin I_0$ 为单位绘制。在数据表中已分别标明。通常在实际工作中都以 r (伽) 为单位。

(15) 纵、横坐标的比例尺在各图中已用数字标明。

(16) 图中除用文字标明的曲线外，用实线表示 $h = 1$ 的曲线；用短虚线表示 $h = 2$ 的曲线；用点虚线表示 $h = 5$ 的曲线。

三、利用理论曲线作定量解释的步骤和方法

本图册内的理论曲线都没有考虑剩余磁化、退磁作用和磁性不均匀性等因素的影响，因此若欲考虑这些因素，需适当变换后应用。

在磁法测量工作之前，当设计测网密度、测量精度时，需要估计测区内地质体引起的磁异常强度及范围等情况，可利用本图册来进行计算。研究各种反演方法的有效性、精确程度等，也可借助于本图册所提供的数据来进行精确的计算。如对地质体形状等了解较清楚而欲分辨或验证异常是否属该地质体引起，则往往需要计算磁异常理论曲线，此时利用本图册所列数据及第一节中所述的方法，可较方便地算得更符合实际形状的地质体所引起的磁异常理论曲线。这里不去阐述这些问题，而仅以利用 ΔZ 曲线为例，说明如何用本图册作理论曲线比较法来计算地质体的产状单元。利用 ΔT 和 ΔH 曲线作定量解释的方法与此类似，不再赘述。

(1) 根据等磁力线平面图或剖面平面图的特征，以及根据已掌握的地质资料，初步确定地质体的走向和估计其形状。当异常具有明显的走向时，才可利用本图册来进行解释；当无明显走向而需视为球体、椭球体等三度体来考虑时，可参阅 [1]、[2]、[7] 等其他文献。

(2) 在走向的垂直方向绘制实测的磁异常垂直分量 $\Delta Z'$ 剖面图 (其中 “'” 是为了与理论曲线区别的记号)。若走向不是东西向，即剖面不是南北向，必须根据该测区已知的地磁倾角 I_0 和由 (1) 中确定的走向方位角 A ，利用下式

$$\text{ctg } i = \text{ctg } I_0 \sin A$$

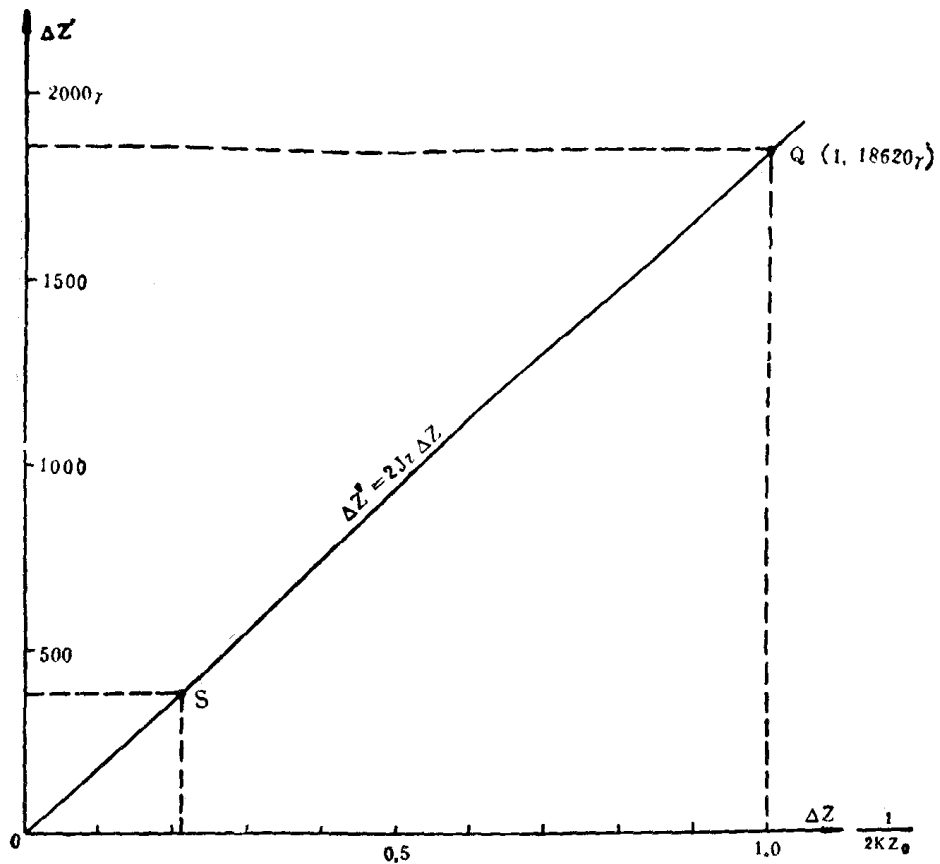
求出有效磁倾角 i ；亦可由下表查得。

(3) 把实测曲线 $\Delta Z'$ 的纵坐标值作如下变换 (水平圆柱体除外)，使与理论曲线 ΔZ 的纵坐标值一致。

I_0	10°	20°	30°	40°	50°	60°	70°	80°	90°
10°	45°26'	64°30'	73°16'	78°18'	81°42'	84°17'	86°23'	88°15'	90°
20°	27°17'	46°47'	59°21'	67°49'	73°59'	78°50'	82°54'	86°33'	90°
30°	19°25'	36°3'	49°6'	59°12'	67°14'	73°54'	79°41'	84°58'	90°
40°	15°20'	29°31'	41°56'	52°33'	61°39'	69°38'	76°50'	83°32'	90°
50°	12°58'	25°25'	37°0'	47°36'	57°16'	66°8'	74°25'	82°18'	90°
60°	11°30'	22°48'	33°41'	44°6'	54°0'	63°26'	72°30'	81°19'	90°
70°	10°38'	21°10'	31°34'	41°46'	51°45'	61°21'	71°7'	80°35'	90°
80°	10°9'	20°17'	30°23'	40°26'	50°26'	60°23'	70°17'	80°9'	90°
90°	10°	20°	30°	40°	50°	60°	70°	80°	90°

根据测区已知的 Z_0 和 K 值，算出 $2J_z = 2KZ_0$ ，以此为斜率，作直线 $\Delta Z' = 2J_z \Delta Z$ ，于是每一测点上以 r 为单位的 $\Delta Z'$ 值相应地可从附图十中查得化成 $2J_z$ 为单位的值。

例如：已知 $Z_0 = 42200r$ ， $K = 0.22$ CGSM，所以 $2J_z = 18600r$ 。取横坐标为 1 时对应于纵坐标为 18600r 的点 Q ，连接 OQ ，此即 $\Delta Z' = 2J_z \Delta Z$ 的直线。例如，已知剖面上任一点 S 的 $\Delta Z'$ 值为 3600r，由附图十可查得此点 ΔZ 值以 $2J_z$ 为单位的值是 0.21。






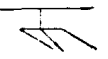
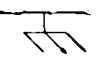

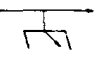
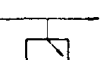
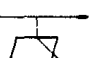
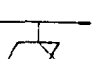
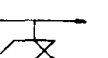

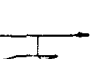
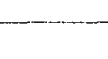
附图十

假如估計地质体形状近似于水平圓柱体，那末把理論曲綫和实测曲綫都取对数坐标較方便。

(4) 根据磁异常特征大致确定地质体形状后，选一組有效磁傾角和曲綫特征（如平緩程度、正負异常出現情况、对称性等）与实测曲綫相近似的理論曲綫与实测曲綫进行比较。变换实测曲綫 $\Delta Z'$ 的横坐标比例尺，直到它与理論曲綫 ΔZ 能較好地重合为止。从該理論曲綫上所标明的产状单元，就得到实际地质体的埋藏深度、寬度等。从重合后的理論曲綫图中所示的形状，可进一步推知原先估計的地质体形状是否正确。

目 录

图号	磁异常类别	地质体形状		有效磁倾角 i	截面中心的埋藏深度		图的页次	数据表的页次	
		名称	垂直于走向的截面形状		h	h			
1	$\Delta Z, \Delta H$	水平圆		30°, 50°, 70°, 90°	1		1	240	
	ΔT	柱体					2		
2	$\Delta Z, \Delta H$	同上		40°, 45°, 60°, 80°	1		3	241	
	ΔT						4		
图号	磁异常类别	地质体形状		有效磁倾角 i	地质体倾角 α	上界面的水平半宽度 b/h	上界面的埋藏深度 h	图的页次	数据表的页次
3	$\Delta Z, \Delta H$	无限延深板状体		35°	15°	1, 2, 3, 4, 5	1	5	242
	ΔT							6	
4	$\Delta Z, \Delta H$	同上		35°	30°	1, 2, 3, 4, 5	1	7	243
	ΔT							8	
5	$\Delta Z, \Delta H$	同上		35°	45°	1, 2, 3, 4, 5	1	9	244
	ΔT							10	
6	$\Delta Z, \Delta H$	同上		35°	60°	1, 2, 3, 4, 5	1	11	245
	ΔT							12	
7	$\Delta Z, \Delta H$	同上		35°	75°	1, 2, 3, 4, 5	1	13	246
	ΔT							14	
8	$\Delta Z, \Delta H$	同上		35°	90°	1, 2, 3, 4, 5	1	15	247
	ΔT							16	
9	$\Delta Z, \Delta H$	同上		35°	105°	1, 2, 3, 4, 5	1	17	248
	ΔT							18	
10	$\Delta Z, \Delta H$	同上		35°	120°	1, 2, 3, 4, 5	1	19	249
	ΔT							20	
11	$\Delta Z, \Delta H$	同上		35°	135°	1, 2, 3, 4, 5	1	21	250
	ΔT							22	

图号	磁异常类别	地质体形状		有效磁倾角 i	地质体倾角 α	上界面的水平半宽度 b/h	上界面的埋藏深度 h	图的页次	数据表的页次
		名称	垂直于走向的截面形状						
12	$\Delta Z, \Delta H$	无限延深板状体		35°	150°	1,2,3,4,5	1	23	251
	ΔT							24	
13	$\Delta Z, \Delta H$	同上		35°	165°	1,2,3,4,5	1	25	252
	ΔT							26	
14	$\Delta Z, \Delta H$	同上		45°	15°	1,2,3,4,5	1	27	253
	ΔT							28	
15	$\Delta Z, \Delta H$	同上		45°	30°	1,2,3,4,5	1	29	254
	ΔT							30	
16	$\Delta Z, \Delta H$	同上		45°	45°	1,2,3,4,5	1	31	255
	ΔT							32	
17	$\Delta Z, \Delta H$	同上		45°	60°	1,2,3,4,5	1	33	256
	ΔT							34	
18	$\Delta Z, \Delta H$	同上		45°	75°	1,2,3,4,5	1	35	257
	ΔT							36	
19	$\Delta Z, \Delta H$	同上		45°	90°	1,2,3,4,5	1	37	258
	ΔT							38	
20	$\Delta Z, \Delta H$	同上		45°	105°	1,2,3,4,5	1	39	259
	ΔT							40	
21	$\Delta Z, \Delta H$	同上		45°	120°	1,2,3,4,5	1	41	260
	ΔT							42	
22	$\Delta Z, \Delta H$	同上		45°	135°	1,2,3,4,5	1	43	261
	ΔT							44	
23	$\Delta Z, \Delta H$	同上		45°	150°	1,2,3,4,5	1	45	262
	ΔT							46	
24	$\Delta Z, \Delta H$	同上		45°	165°	1,2,3,4,5	1	47	263
	ΔT							48	
25	$\Delta Z, \Delta H$	同上		55°	15°	1,2,3,4,5	1	49	264
	ΔT							50	

图号	磁异常类别	地质体形状		有效磁倾角 i	地质体倾角 α	上界面的水平半宽度 b/h	上界面的埋藏深度 h	图的页次	数据表的页次
		名称	垂直于走向的截面形状						
26	$\Delta Z, \Delta H$	无限延深板状体		55°	30°	1, 2, 3, 4, 5	1	51	265
	ΔT							52	
27	$\Delta Z, \Delta H$	同上		55°	45°	1, 2, 3, 4, 5	1	53	266
	ΔT							54	
28	$\Delta Z, \Delta H$	同上		55°	60°	1, 2, 3, 4, 5	1	55	267
	ΔT							56	
29	$\Delta Z, \Delta H$	同上		55°	75°	1, 2, 3, 4, 5	1	57	268
	ΔT							58	
30	$\Delta Z, \Delta H$	同上		55°	90°	1, 2, 3, 4, 5	1	59	269
	ΔT							60	
31	$\Delta Z, \Delta H$	同上		55°	105°	1, 2, 3, 4, 5	1	61	270
	ΔT							62	
32	$\Delta Z, \Delta H$	同上		55°	120°	1, 2, 3, 4, 5	1	63	271
	ΔT							64	
33	$\Delta Z, \Delta H$	同上		55°	135°	1, 2, 3, 4, 5	1	65	272
	ΔT							66	
34	$\Delta Z, \Delta H$	同上		55°	150°	1, 2, 3, 4, 5	1	67	273
	ΔT							68	
35	$\Delta Z, \Delta H$	同上		55°	165°	1, 2, 3, 4, 5	1	69	274
	ΔT							70	
36	$\Delta Z, \Delta H$	同上		65°	15°	1, 2, 3, 4, 5	1	71	275
	ΔT							72	
37	$\Delta Z, \Delta H$	同上		65°	30°	1, 2, 3, 4, 5	1	73	276
	ΔT							74	
38	$\nabla Z, \Delta H$	同上		65°	45°	1, 2, 3, 4, 5	1	75	277
	ΔT							76	
39	$\Delta Z, \Delta H$	同上		65°	60°	1, 2, 3, 4, 5	1	77	278
	ΔT							78	

图号	磁异常类别	地质体形状		有效磁倾角 ϵ	地质体倾角 α	上界面的水平半宽度 b/l_0	上界面的埋藏深度 h	图的页次	数据表的页次
		名称	垂直于走向的截面形状						
40	$\Delta Z, \Delta H$	无限延深板状体		65°	75°	1, 2, 3, 4, 5	1	79	279
	ΔT							80	
41	$\Delta Z, \Delta H$	同上		65°	90°	1, 2, 3, 4, 5	1	81	280
	ΔT							82	
42	$\Delta Z, \Delta H$	同上		65°	105°	1, 2, 3, 4, 5	1	83	281
	ΔT							84	
43	$\Delta Z, \Delta H$	同上		65°	120°	1, 2, 3, 4, 5	1	85	282
	ΔT							86	
44	$\Delta Z, \Delta H$	同上		65°	135°	1, 2, 3, 4, 5	1	87	283
	ΔT							88	
45	$\Delta Z, \Delta H$	同上		65°	150°	1, 2, 3, 4, 5	1	89	284
	ΔT							90	
46	$\Delta Z, \Delta H$	同上		65°	165°	1, 2, 3, 4, 5	1	91	285
	ΔT							92	
47	$\Delta Z, \Delta H$	同上		90°	15°	1, 2, 3, 4, 5	1	93	286
	ΔT								
48	$\Delta Z, \Delta H$	同上		90°	30°	1, 2, 3, 4, 5	1	94	287
	ΔT								
49	$\Delta Z, \Delta H$	同上		90°	45°	1, 2, 3, 4, 5	1	95	288
	ΔT								
50	$\Delta Z, \Delta H$	同上		90°	60°	1, 2, 3, 4, 5	1	95	289
	ΔT								
51	$\Delta Z, \Delta H$	同上		90°	75°	1, 2, 3, 4, 5	1	97	290
	ΔT								
52	$\Delta Z, \Delta H$	同上		90°	90°	1, 2, 3, 4, 5	1	98	291
	ΔT								
53	$\Delta Z, \Delta H$	同上		90°	105°	1, 2, 3, 4, 5	1	99	292
	ΔT								

图号	磁异常类别	地质体形状		有效磁倾角 i	地质体倾角 α	上界面的水平半宽度 b/h	上界面埋藏深度 h	图的页次	数据表的页次
		名称	垂直于走向的截面形状						
54	$\Delta Z, \Delta H$ ΔT	无限延深板状体		90°	120°	1,2,3,4,5	1	100	293
55	$\Delta Z, \Delta H$ ΔT	同上		90°	135°	1,2,3,4,5	1	101	294
56	$\Delta Z, \Delta H$ ΔT	同上		90°	150°	1,2,3,4,5	1	102	295
57	$\Delta Z, \Delta H$ ΔT	同上		90°	165°	1,2,3,4,5	1	103	296
图号	磁异常类别	地质体形状		有效磁倾角 i	地质体倾角 α	上界面的水平垂直厚度 $2b$ 度 $2l$	上界面埋藏深度 h	图的页次	数据表的页次
		名称	垂直于走向的截面形状						
58	$\Delta Z, \Delta H$ ΔT	水平平行四边形柱体		30°, 45° 60°, 90°	45°	10 2	1	104 105	297
59	$\Delta Z, \Delta H$ ΔT	同上		30°, 45° 60°, 90°	90°	10 2	1	106 107	298
60	$\Delta Z, \Delta H$ ΔT	同上		30°, 45° 60°, 90°	135°	10 2	1	108 109	299
61	$\Delta Z, \Delta H$ ΔT	同上		30°, 45° 60°, 90°	60°	2 10	1	110 111	300
62	$\Delta Z, \Delta H$ ΔT	同上		30°, 45° 60°, 90°	90°	2 10	1	112 113	301
63	$\Delta Z, \Delta H$ ΔT	同上		30°, 45° 60°, 90°	120°	2 10	1	114 115	302
64	$\Delta Z, \Delta H$ ΔT	同上		30°, 45° 60°, 90°	60°	2 4	1	116 117	303
65	$\Delta Z, \Delta H$ ΔT	同上		30°, 45° 60°, 90°	90°	2 4	1	118 119	304
66	$\Delta Z, \Delta H$ ΔT	同上		30°, 45° 60°, 90°	120°	2 4	1	120 121	305

XVI



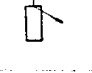

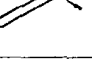
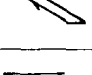
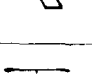

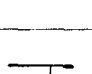


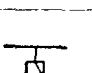
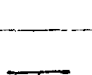



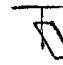
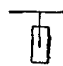






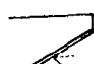
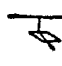


图号	磁异常类别	地质体形状		有效磁倾角 i	地质体倾角 α	上界面的水平宽度 $2b$	地质体垂直厚度 $2l$	上界面的埋藏深度 h	图的页次	数据表的页次
		名称	垂直于走向的截面形状							
67	$\Delta Z, \Delta H, \Delta T$	水平平行四边形柱体		30°	30°	2	4	1, 2, 5	122	306
68	$\Delta Z, \Delta H, \Delta T$	同上		30°	60°	2	4	1, 2, 5	123	307
69	$\Delta Z, \Delta H, \Delta T$	同上		30°	90°	2	4	1, 2, 5	124	308
70	$\Delta Z, \Delta H, \Delta T$	同上		30°	120°	2	4	1, 2, 5	125	309
71	$\Delta Z, \Delta H, \Delta T$	同上		30°	150°	2	4	1, 2, 5	126	310
72	$\Delta Z, \Delta H, \Delta T$	同上		45°	30°	2	4	1, 2, 5	127	311
73	$\Delta Z, \Delta H, \Delta T$	同上		45°	60°	2	4	1, 2, 5	128	312
74	$\Delta Z, \Delta H, \Delta T$	同上		45°	90°	2	4	1, 2, 5	129	313
75	$\Delta Z, \Delta H, \Delta T$	同上		45°	120°	2	4	1, 2, 5	130	314
76	$\Delta Z, \Delta H, \Delta T$	同上		45°	150°	2	4	1, 2, 5	131	315
77	$\Delta Z, \Delta H, \Delta T$	同上		60°	30°	2	4	1, 2, 5	132	316
78	$\Delta Z, \Delta H, \Delta T$	同上		60°	60°	2	4	1, 2, 5	133	317
79	$\Delta Z, \Delta H, \Delta T$	同上		60°	90°	2	4	1, 2, 5	134	318
80	$\Delta Z, \Delta H, \Delta T$	同上		60°	120°	2	4	1, 2, 5	135	319

图 号	磁异常类别	地质体形状		有效磁 倾角 i	地质体 倾角 α	上界面 的水平 宽度 $2b$	地质体 垂直厚 度 $2l$	上界面 的埋藏 深度 h	图 的 页 次	数据表 的页次
		名称	垂直于走向 的截面形状							
81	$\Delta Z, \Delta H, \Delta T$	水平 平行四边 形柱体		60°	150°	2	4	1, 2, 5	136	320
82	$\Delta Z, \Delta H, \Delta T$	同上		90°	30°	2	4	1, 2, 5	137	321
83	$\Delta Z, \Delta H, \Delta T$	同上		90°	60°	2	4	1, 2, 5	138	322
84	$\Delta Z, \Delta H, \Delta T$	同上		90°	90°	2	4	1, 2, 5	139	323
85	$\Delta Z, \Delta H, \Delta T$	同上		90°	120°	2	4	1, 2, 5	140	324
86	$\Delta Z, \Delta H, \Delta T$	同上		90°	150°	2	4	1, 2, 5	141	325
87	$\Delta Z, \Delta H, \Delta T$	同上		45°	30°	1	10	1, 2, 5	142	326
88	$\Delta Z, \Delta H, \Delta T$	同上		45°	60°	1	10	1, 2, 5	143	327
89	$\Delta Z, \Delta H, \Delta T$	同上		45°	90°	1	10	1, 2, 5	144	328
90	$\Delta Z, \Delta H, \Delta T$	同上		45°	120°	1	10	1, 2, 5	145	329
91	$\Delta Z, \Delta H, \Delta T$	同上		45°	150°	1	10	1, 2, 5	146	330
92	$\Delta Z, \Delta H, \Delta T$	同上		45°	30°	2	1	1, 2, 5	147	331
93	$\Delta Z, \Delta H, \Delta T$	同上		45°	60°	2	1	1, 2, 5	148	332
94	$\Delta Z, \Delta H, \Delta T$	同上		45°	90°	2	1	1, 2, 5	149	333